

Computación Paralela y Distribuida

Practica # 1

José Fernando Morantes Florez, Johan Sebastian Salamanca Gonzalez, Harold Nicolas Saavedra Alvarado
 {jfmorantesf, jssalamncag, hnsaavedraa}@unal.edu.co

I. ALGORITMO DE BLURING

Se utilizo como base el algoritmo de **Gaussian Blur** la cual se explica en la siguiente imagen.

$$b[i, j] = \sum_{y=i-r}^{i+r} \sum_{x=j-r}^{j+r} f[y, x] * w[y, x]$$

Sin embargo, para la construcción de un algoritmo más eficiente se utiliza el box blur el cual al realizarlo repetidas veces (en nuestro caso consideramos 3 veces) sobre la imagen se aproxima al resultado que se obtiene utilizando gaussian blur. Para este algoritmo se utiliza la siguiente constante para los pesos

$$\frac{1}{2 * br^2}$$

Donde br [2] es el radio ideal de la caja. Teniendo esto en cuenta se obtiene la siguiente formula.

$$bb[i, j] = \sum_{y=i-br}^{i+br} \sum_{x=j-br}^{j+br} f[y, x] / (2 * br)^2$$

Como podemos observar esta fórmula se aplica a cada píxel de la imagen y la idea general es realizar el efecto de blur utilizando los pixeles vecinos simulando un suavizado de estos.

Para hacer este algoritmo más eficiente se dividió la operación de convolución en 2, en la primera de estas (Horizontal Blur) se itera sobre las columnas dejando estática la fila y se aplica la siguiente formula.

$$b_h[i, j] = \sum_{x=j-br}^{j+br} f[i, x] / (2 * br)$$

Luego, sobre el resultado del Horizontal blur, se itera sobre la fila y se deja estática la columna aplicando la formula mostrada a continuación, a esto le llamamos Total blur.

$$b_t[i, j] = \sum_{y=j-br}^{j+br} b_h[y, j] / (2 * br)$$

Se demuestra entonces que al aplicar estos dos procedimientos sobre la imagen se obtiene el mismo resultado e incluso la misma fórmula de box blur, pero con una complejidad de $O(n * r)$

$$\begin{aligned} b_t[i, j] &= \sum_{y=i-br}^{i+br} b_h[y, j] / (2 * br) = \sum_{y=j-br}^{j+br} \left(\sum_{x=j-br}^{j+br} f[y, x] / (2 * br) \right) / (2 * br) \\ &= \sum_{y=i-br}^{i+br} \sum_{x=j-br}^{j+br} f[y, x] / (2 * br)^2 \end{aligned}$$

II. IMPLEMENTACIÓN DE LA PARALELIZACIÓN

Con el uso de la librería stb_image.h [3] obtuvimos la representación en los canales RGB de la imagen, luego se aplicó el algoritmo por cada canal.

Para lograr la paralelización se dividió el canal correspondiente en el número de hilos y se ejecutó la función de Horizontal blur y Total blur para cada una de estas secciones. En la imagen a continuación se evidencia el particionamiento de la imagen.

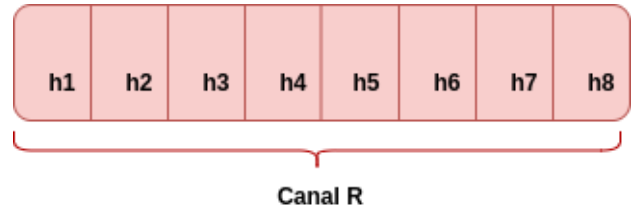


Fig. 1. Partición del canal rojo

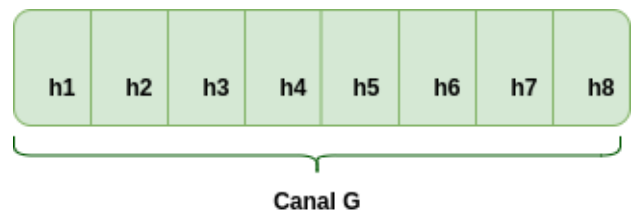


Fig. 2. Partición del canal verde

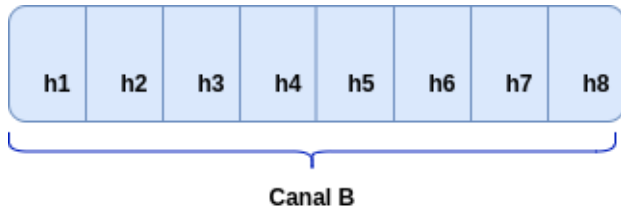


Fig. 3. Partición del canal azul

Tal y como se observa se siguió una estrategia **Block-wise** para abordar el problema de la paralelización.

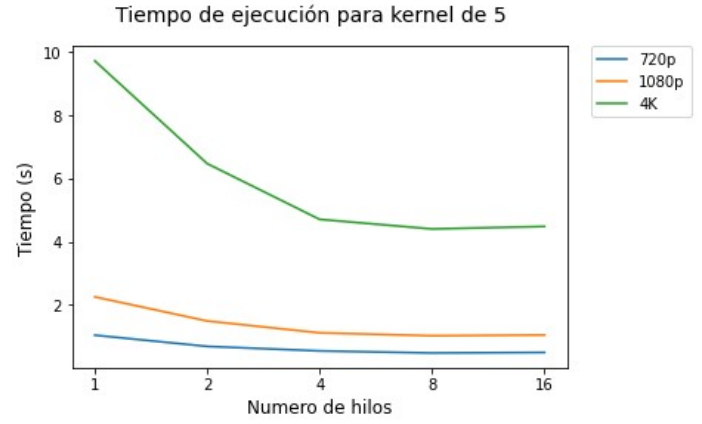


Fig. 5. Grafica de tiempo de ejecución para las 3 imágenes con un kernel de 5

III. GRÁFICAS Y ANÁLISIS DE RESULTADOS

A. Graficas de tiempo de ejecución

Utilizando un kernel de 3, 5, 7, 9, 11, 13 y 15 para el algoritmo de blur construido, se realizaron 10 iteraciones para cada una de las imágenes (720p, 1080p y 4K) y con 1, 2, 4, 8 y 16 hilos. A partir de esto, utilizando el comando de unix “time”, se obtuvo el tiempo para cada una de las ejecuciones (50 por imagen) con los parámetros anteriormente mencionados y se sacó un promedio de los tiempos obtenidos en cada una de las 10 iteraciones para cada hilo y cada kernel, con esto se formó una gráfica de dichos tiempos de ejecución para cada uno de los kernel con las tres imágenes. Estas se muestran a continuación.

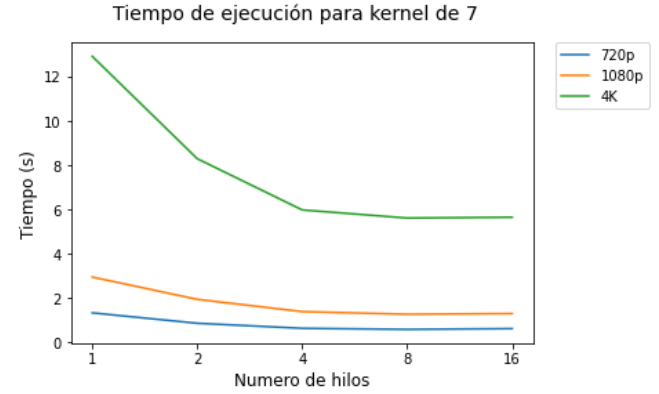


Fig. 6. Grafica de tiempo de ejecución para las 3 imágenes con un kernel de 7

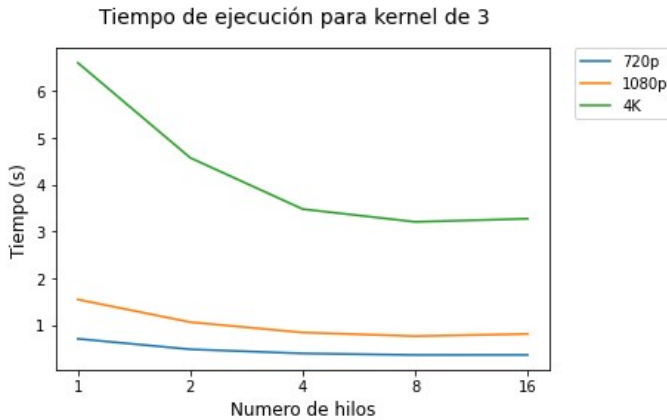


Fig. 4. Grafica de tiempo de ejecución para las 3 imágenes con un kernel de 3

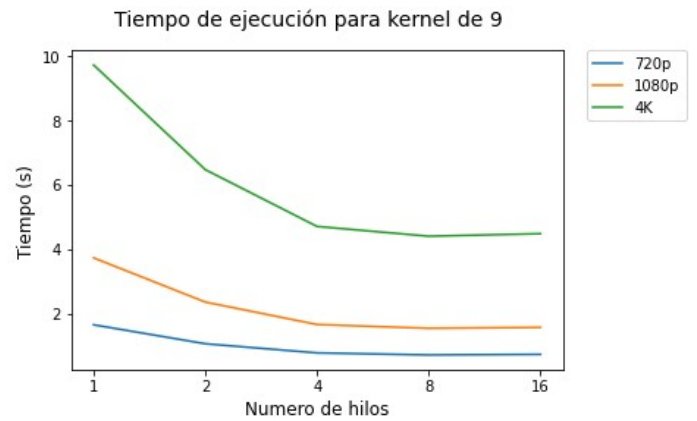


Fig. 7. Grafica de tiempo de ejecución para las 3 imágenes con un kernel de 9

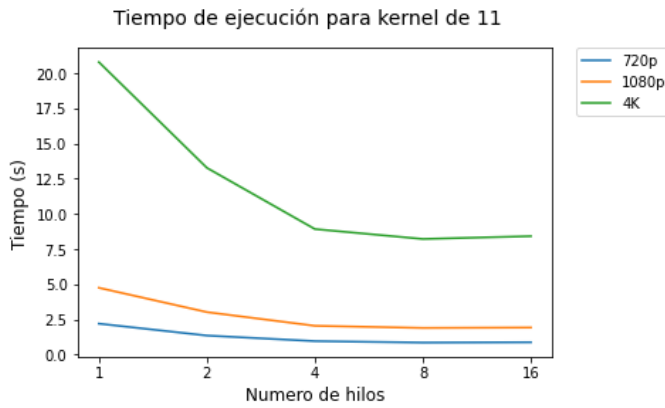


Fig. 8. Gráfica de tiempo de ejecución para las 3 imágenes con un kernel de 11

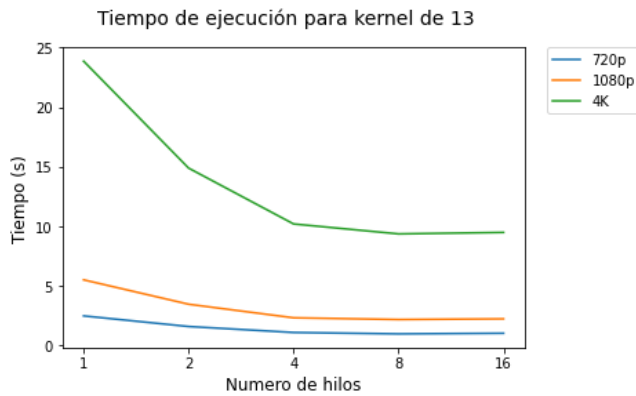


Fig. 9. Gráfica de tiempo de ejecución para las 3 imágenes con un kernel de 13

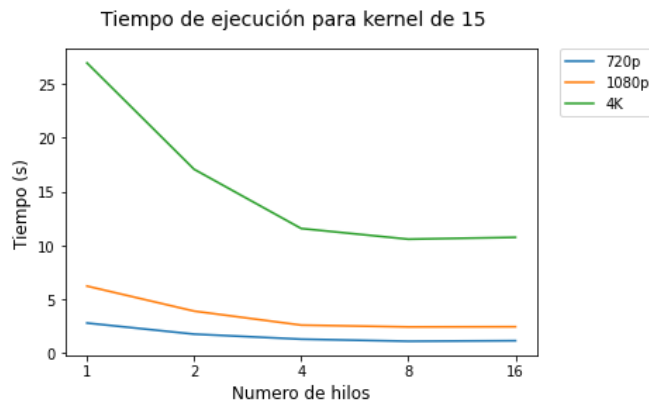


Fig. 10. Gráfica de tiempo de ejecución para las 3 imágenes con un kernel de 15

Como se esperaba de los valores del tiempo entre 1 a 2 hilos, 2 a 4 hilos y 4 a 8 hilos fueron reduciendo considerablemente como producto de la paralelización en todos los casos. Sin embargo al pasar de 8 a 16 hilos no se observó una reducción

en su lugar se mantuvo constante o se notó un ligero aumento en el tiempo de ejecución, esto es debido a que la maquina en la que se ejecutó el programa solo cuenta con 4 núcleos físicos y por lo tanto 8 núcleos virtuales esto implica que al lanzar 16 hilos quedan virtualizados y no tienen el rendimiento esperado.

Cabe resaltar que el aumento en el tamaño del kernel representa para el algoritmo un aumento en el tiempo de ejecución, este aumento es proporcional en cada uno de los tamaños de kernel por lo que las gráficas siguen la misma tendencia.

La especificación de la maquina se observa a continuación.

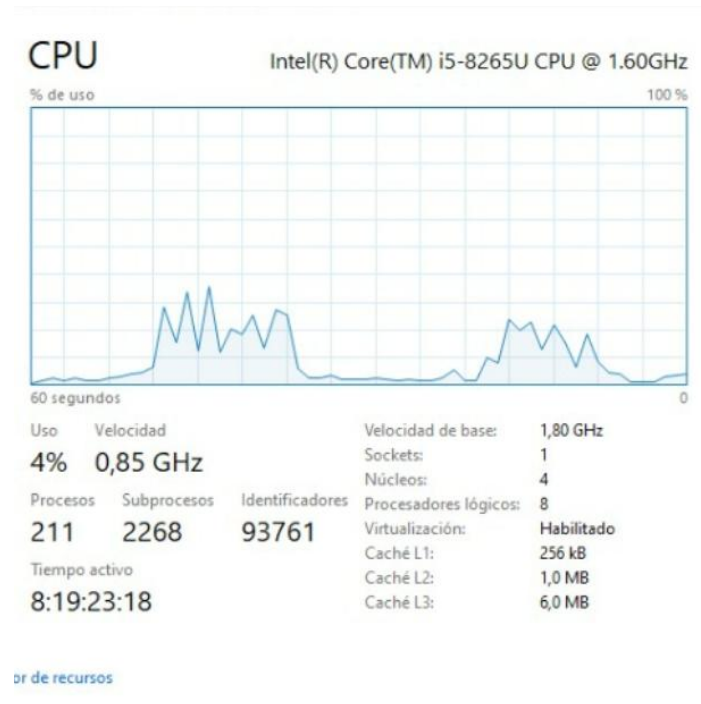


Fig. 11. Detalles de la maquina donde se ejecuto el algoritmo

B. Speed-up

Se calculo el speed-up para los tiempos de ejecución anteriormente obtenidos, esto utilizando la siguiente formula.

$$S_p(n) = \frac{T^*(n)}{T_p(n)}$$

Donde $T^*(n)$ es el tiempo del mejor programa secuencial (obtenido a partir de un promedio de 10 ejecuciones con 1 solo hilo) y $T_p(n)$ es el tiempo de ejecución con p hilos. A partir de dichos cálculos se obtuvo la siguiente grafica.

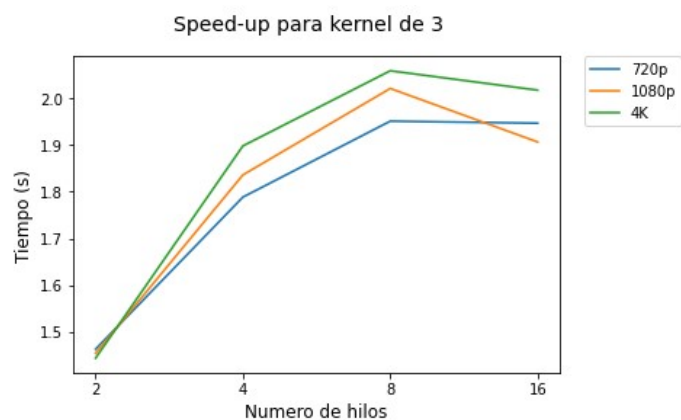


Fig. 12. Grafica del speed-up para las 3 imágenes con un kernel de 3

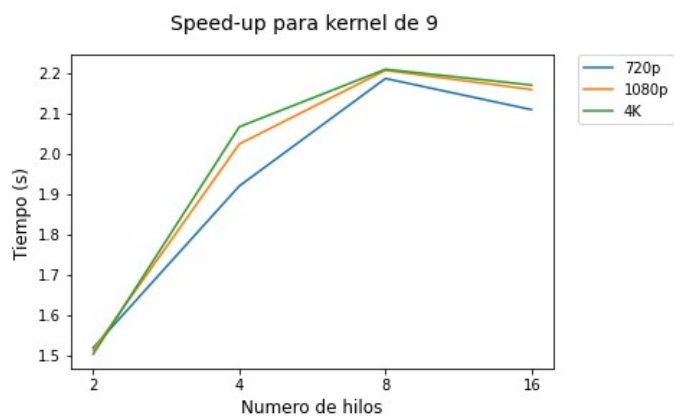


Fig. 15. Grafica del speed-up para las 3 imágenes con un kernel de 9

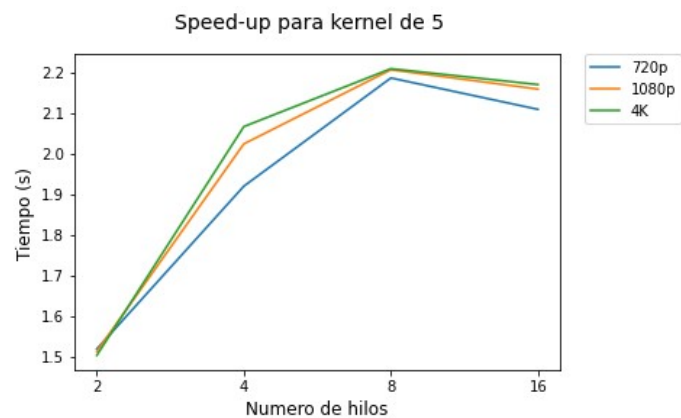


Fig. 13. Grafica del speed-up para las 3 imágenes con un kernel de 5

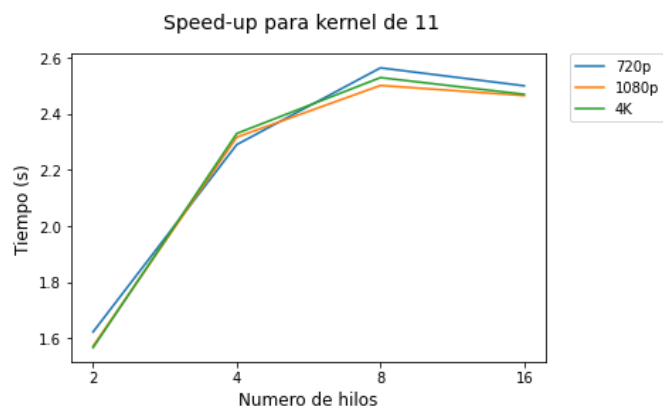


Fig. 16. Grafica del speed-up para las 3 imágenes con un kernel de 11

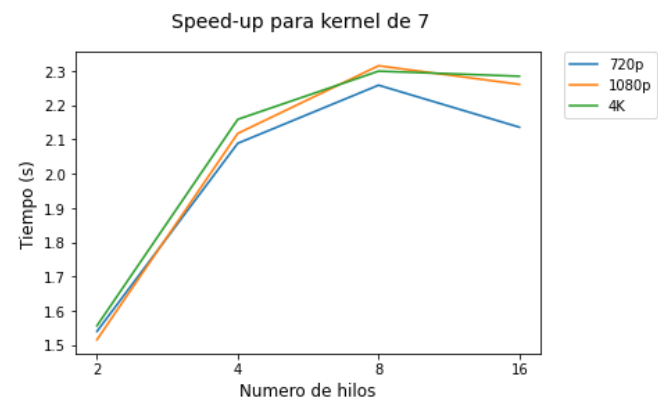


Fig. 14. Grafica del speed-up para las 3 imágenes con un kernel de 7

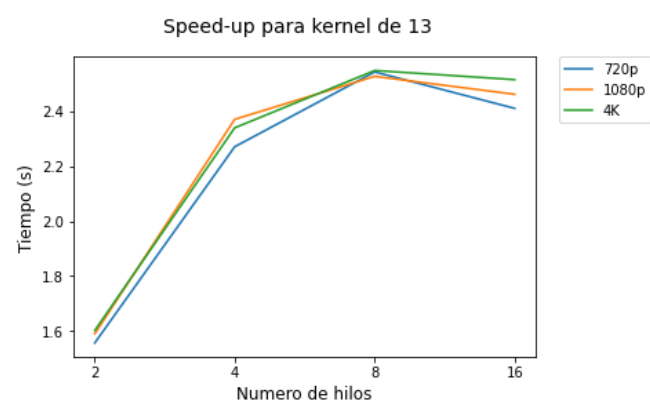


Fig. 17. Grafica del speed-up para las 3 imágenes con un kernel de 13

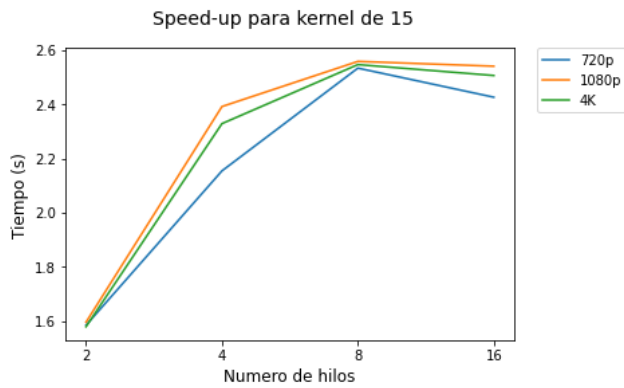


Fig. 18. Grafica del speed-up para las 3 imágenes con un kernel de 15

Como se esperaba, las gráficas cumplen con el comportamiento explicado por la ley de Amdhal, los que quiere decir que el speed up aumenta mientras se acerca a un valor asintótico horizontal. También podemos ver que en casos particulares como el observado en la Fig.12 (Kernel 3) se observan datos atípicos en el proceso usando 16 hilos, específicamente en el caso de la imagen a 1080p, esto puede ser debido a la arquitectura de la maquina donde se ejecutó el programa.

IV. CONCLUSIONES

- Podemos ver como el tiempo de ejecución tiende al mismo comportamiento con los tres tamaños distintos de imagen sin importar el kernel, esto mostrando un aumento del tiempo de ejecución para el caso de los 16 hilos, sin embargo, este aumento no es muy pronunciado.
- Ya que se estaba usando un computador con un procesador de 8 núcleos virtuales, el máximo Speed-up se consigue cuando se ejecuta el programa con 8 hilos ya que luego al ejecutarlo con 16 hilos el Speed-up disminuyo considerablemente para todos los casos, una de las posibles causas de esto es que el Scheduler del computador debió realizar la planificación para la ejecución de los demás hilos. Esto es consecuente al aumento en el caso del tiempo de ejecución.
- Se observa que para todos los tamaños de kernel y tamaños de imagen, el algoritmo mantiene su comportamiento y este es por lo tanto independiente de la cantidad de hilos que se lance siempre y cuando no se sobrepase la cantidad de núcleos virtuales lo cual como ya se vio causa un aumento en los tiempos de ejecución.

BIBLIOGRAFÍA

- [1] Fastest Gaussian Blur (in linear time), [En línea]. Available: <http://blog.ivank.net/fastest-gaussian-blur.html> [Último acceso: 30 de Marzo 2020].
- [2] MATLAB and Octave Functions for Computer Vision and Image Processing, [En línea]. Available: <https://www.peterkovesi.com/matlabfns/> [Último acceso: 30 de Marzo 2020]
- [3] stb image library C, [En línea]. Available: <https://github.com/nothings/stb> [Último acceso: 30 de Marzo 2020]
- [4] Bash Reference Manual, [En línea]. Available: <https://www.gnu.org/savannah-checkouts/gnu/bash/manual/bash.html> [Último acceso: 30 de Marzo 2020].